

(1) 液固スラグ塊は緑色を帯びた青藍色であり、溶融スラグ中のクロム酸化物は、化学量論的に CrO_3 の形がもつとも優勢である。

(2) 本実験系は定常状態に到達しているものと考えられ、スラグ塩基度の酸性側→塩基性側への推移とともに λ_m が増し、クロム酸化物の両性挙動を示唆する。第二に溶解温度の上昇とともに、 λ_m は逆に減少するが、これは雰囲気中の酸素分圧の減少によるものと思われる。

(3) これと類似の方法によつて、溶融スラグ中ににおける Fe, Mn, Ti, V などの多原子価遷移原子の挙動を調べ、silicate bond に関する知識を深めてゆくことができるであろう。

なお工業的観点に立つて附言すれば、含クロム鉄鉱石の高炉吹製に関しては、幾多の難問が介在していることと思うが、すでに低品位鉄マンガン鉱石の高炉における低温酸性操業によつて Mn concentrate (高 Mn re-

fining slag) が歩留よく得られている経験的事実のもあり、その間に原理的な共通性を認めることができる。われわれのスラグ構造に関する Academic な知識は、高温冶金反応の解釈、推定と相互に diffuse しなければならない。

文 献

- 1) 金森他: 鉄と鋼, 40 (1954) 7, 665; 東京大学生研報告, Vol. 4, No. 4 (1955)
- 2) 新実、松下及び金森: 鉄と鋼, 41 (1955) 10, 1075
- 3) F. Ogburn, J. Brenner: Trans. Electro-chem. Soc., 96 (1949) 347
- 4) H. Lux, E. Rogler: Z. anorg. allg. Chem., 250 (1942/1943) 2, 159
- 5) R. Durrer, G. Volkert: Die Metallurgie der Ferrolegierungen, (1953)

平炉の空氣力学的構成 (I)*

(序 説)

橋 本 英 文**

AERODYNAMIC CONSTITUTION OF OPEN-HEARTH FURNACE (I)

-INTRODUCTION-

Hidefumi A. Hashimoto

From the view point of productivity, improvement in open-hearth furnace means shortening the time for each heat and keeping high production rate for a long period. Productive characteristics of open-hearth furnaces are expressed in formulas using the characteristic constants K (the latent production rate at initial state) and a (the decline of production rate per production of unit amount), which make it possible to compare a variety of open-hearth furnaces each other as to their productivities.

Many factors affect K and a , they are mainly related to types and arrangement of the following constituents:

- (1) The checker chamber, the fantail and the slag pocket
- (2) The air-uptake and the end wall
- (3) The furnace head (end roofs, dog houses, side walls and throats)
- (4) The fuel jet
- (5) The furnace chamber (ceilings and walls)

In studying the factors thoroughly and extensively to improve open-hearth furnace rationally, it is more easy, more efficient and less expensive to study them by means of small-scale models. Model experiments under suitable considerations represent phenomena in actual furnaces satisfactorily.

* 昭和27年10月、昭和28年4月、昭和31年4月、日本鉄鋼協会講演大会にて発表

** 住友金属工業、小倉製鐵所

When an open-hearth furnace or other furnaces are built, they will be designed rationally by the aids of model experiments. The method is not a quite new one, but it has been applied as an indispensable procedure in the case of aircraft or ship building.

I. 緒 言

平炉は現在の鉄鋼業において最も普遍的な炉であるとともにまた最も短命な炉である。それは、装入～出鋼を繰返す非連続作業・極めて高い作業温度・侵蝕性浮遊物を含む内部雰囲気・燃焼流の変向という不利な条件を課されており、炉容の大型化・高級耐火物の使用がその負担を幾分軽くするにしても、その能率の維持と向上とは依然として解消ということには至らない。

現在の平炉の型はこれをベンチュリ (Venturi) 型・メルツ (Maerz) 型・シングル (Single Air-uptake) 型の三つに大別することができる。これらの間にはそれぞれの得失はあるにしても、例えば機械通風・重油焚・200 t 炉というような具体的条件を与えるとき、そこに最適の炉型ないしは部分構成があるはずであり、少くとも現在の炉は自然通風・発生炉ガス焚・30 t 炉とは明らかに違わねばならない。これは燃焼・伝熱・損傷に関する事であります。これらも空気力学的な構成の如何にかかるところがはなはだ大きい。

II. 平炉の能力特性

平炉の能力改善の主眼はつきの2点に統括される。

- (a) 各々のヒートにおける製鋼時間の短縮
 - (b) 繼続せる操業を通しての炉寿命の延長
- この概念はつきのごとく数式化される。

1. 能力特性式

操業にともなう平炉能率の低下は炉体の損傷・蓄熱機能の低下によるが、これらは耐火物の侵蝕・ダストおよび溶渣物の付着堆積を起す物質の量に関係しており、それはある製鋼条件においては製出鋼量に比例する。

そこで、製鋼能率を製鋼時間当たりの製出鋼量で表わし

x : 製鋼時間 (累計), y : 製出鋼量 (累計)

K : 初始能率 (基本), a : 比例常数

とすれば、ある時期 (x) にあつては

$$\text{製鋼能率: } y' = dy/dx = K - ay \quad (1)$$

この方程式を初期条件を入れて解けば

$$y = \frac{K}{a} (1 - e^{-ax}) \quad (2)$$

$$\therefore y' = Ke^{-ax} \quad (3)$$

2. 実際作業

炉が本来の能力をそのまま発揮できるときの式が上に

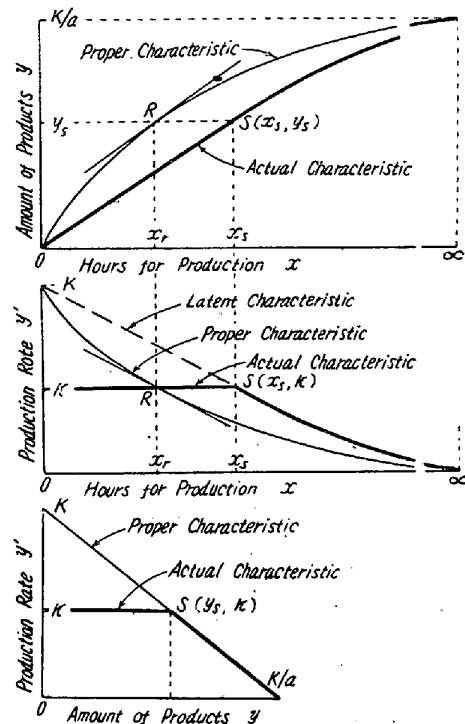


Fig. 1. Characteristic curves of open-hearth furnace.

与えられ Fig. 1 に細い実線で示してある。しかし一般には初期の高い能率は何等かの拘束 (熱供給能力の最高が燃焼・伝熱等の能力で抑えられる) によつて一定限までしか發揮できない。この能率を κ で表わすと、この期間で

$$\begin{aligned} y_1' &= \kappa \\ y_1 &= \kappa x_1 \end{aligned} \quad \left. \right\} \dots\dots\dots (4)$$

しかしながら炉本来の基本 (proper) 特性は必ずこの背後にあつて潜在した (latent) 能力を引いており、時間当たりの生産が一定であるから潜在能率は毎時間一定値づつ低下し、これ ($K - a \cdot \kappa x_1$ となつてゐる) が、 $y_s' = \kappa$ に達して後は基本特性と同じ経過をたどる。その時期 (x_s) は

$$\kappa = K - a \cdot \kappa x_s \text{ より}$$

$$\left. \begin{aligned} x_s &= \frac{1}{a} \left(\frac{K}{\kappa} - 1 \right) \\ \therefore y_s &= \frac{1}{a} (K - \kappa) \end{aligned} \right\} \dots\dots\dots (5)$$

この時期以後においては ($x_s - x_r$) 時間だけ遅れた基本特性にしたがい

ただし、 x_r は基本特性で能率が κ になる時期であり
 $y_s' = Ke^{-ax_r} = \kappa$ より

$$x_r = -\frac{1}{a} \log\left(\frac{\kappa}{K}\right) \dots \dots \dots (7)$$

Fig. 1 の太い実線が実際作業、破線は潜在能力を示す。

これらの式を平炉の能力特性式と名付け、 K と a とをその特性値とよぶ。 K は始めのかくされた能率、 a は生産単位量当たりの能率の低下を示す。いずれも炉と操業とによつてきまる常数であり、これをもつて諸種の平炉・操業を比較することができる。

3. 炉の改善

平炉の改善は特性値 K を増すことと、 a を減することにある。すなわち (3) 式および (6) 式において係数 K を増し、 e のベキの $-a$ を増す；言い換えれば a を減すことが何時の時期においても y' を高くする。これが能率の維持・向上に他ならない。

III. 模型実験の必要

1. 特性をきめる因子

平炉能力の特性値 $K \cdot a$ をきめる因子は数多く、これらが相い関係し合つてはたらいているが、前者が伝熱に關係し後者は損傷に關係するものといえ、いずれも流れの如何に支配される。すなわち燃料と空気の流れへ混合によつて燃焼が行われ、燃焼の位置・焰の性状・生成ガス流れにより伝熱と損傷は決定づけられる。各炉型を通じこの因子として大きい役割を演ずると思われる炉の構成因子は

(1) 下炉の構成(換熱機能および上炉への流れの如何)

- a) 蓄熱室の構造・配置
 - b) ファンテールの有無・構造
 - c) 鉢溝室の構造・配置(気道との関連)

(2) 気道の構成(燃焼および排出流の如何)

 - a) 個数の単複(シングルかダブルか)
 - b) 配置の集散(炉頭巾に拡るか中央に集るか)
 - c) 形状(形および面積の広狭)
 - d) 端壁の直斜(突当り壁が鉛直か傾斜せるか)

(3) 炉頭の構成(燃焼機能)

 - a) 小天井の傾斜(端部に向つて上るか下るか)
 - b) 側壁の拡り・絞り

- c) 大きさ(巾・長さ)
 - (4) 噴流の構成(燃焼機能および炉内流れ)
 - a) 強さ・大きさ・拡り
 - b) 位置・方向
 - c) 個数(燃料噴流が1本か複数か)
 - (5) 炉腔の構成(燃焼機能と損傷)
 - a) 炉壁の位置・傾き・絞り
 - b) 天井の高低
 - c) 炉の巾・長さ

であり、これらのものが変向によつて流向が逆になつた時にも適合したものでなければならないし、またその改善は構造の単純化にも通ずるものであることが望ましい。

2. 作用の阐明

実際の平炉操業によつてこれらの因子の作用を無明し改善をはかることは最も直接的であり明瞭であるかのごとく思われるが、これはいうべくして容易なことではない、すなわち、

- a) 炉を築造または改造しようとするとき、これを作つて使つてみなければ実験はできない。
 - b) ところが、実炉による実験から得られる情報は実験が極めて労多いに反してあまりにも狭い範囲のしかも不明確なものなるを避け難い。

というのは、平炉が作業温度の高い大がかりの装置でありしかも本來が鋼を作るよう設計されているのであって決して実験に都合よくはできないのであるから任意に条件を変えて実験を行えるものではなく、反対に条件を一定にして実験を行おうとしても偶然・作業上の原因要求によつて条件の変わるのでいかんともし難い。さらにこのような状況で行われる実験であるため成果の把握も不充分となり、成績が判つてもその由つてくるところの委細が究明できないのでは改善の資としてはなはだ貧弱なものたるを免れず、莫大の時日と労力経費をかけてしかも得るところの少ない実験に了る。これが、頻繁に改築が行われ改善の機会にも最も恵まれているはずの平炉が大きい変化もなく古い型を踏襲している理由である。

ともあれ、問題は空気力学的なものである。ゆえにこの解説に模型実験が有効に利用されることとは、早くから風洞実験・水槽実験によつてその設計を行つてゐる航空機船舶の例にかんがみても明らかである。適確な配慮のもとに行われる模型実験はつぎの点で遙かに実炉実験に優る。

- (1) 実験に要する費用と労力が少く

浮力と粘性力とでありこの比をもつて標跡が流れによくともなうかが判定される。

粒子を球(半径 = r , 密度 = ρ) とし流体(密度 = ρ_0 , 粘性係数 = μ_0) 中のこの粒子の上下運動速度を v_0 とすれば、この v_0 はストークスの法則の適用範囲にあり、

$$\text{浮力} [4\pi r^3(\rho - \rho_0)g/3] = \text{粘性抵抗} [6\pi r\mu_0 v_0]$$

常温の水 ($\rho_0 = 1 \text{ g/cm}^3$, $\mu_0 = 0.015 \text{ g/cm}\cdot\text{sec}$) 中の
 $r = 0.0025 \text{ cm}$ のアルミ粉 ($\rho = 2.7 \text{ g/cm}^3$) の例を見ると、上式より求めた沈下速度は $v_0 = 1.5 \text{ mm/sec}$ となり流れの速さ (100 mm/sec 以上) に比しほとんど影響ない。とくに水を循環して使用するときは微細な粉のみが流れ、それはビーカ内に入れて静置しても器内の微かな対流に乗つて動きいつまでも沈没せぬ程度のものである。

2) 分離

ダストの分離状況の適合は損傷実験に必要な相似条件である。実炉内の浮遊ダストと称するものは粒度1 mm以上のものから蒸気体に至るまでを含んでおり、分離付着の標跡としては一定の粒度を決め難く、また損傷は温度にもよるのでこれらの点を考え合せて実験・判定を要する。

今、曲率半径 D なる円弧に沿つて v なる速さで動く粒子（半径 $-r$ 、密度 ρ ）の運動を考え、遠心力によつて粒子は等速 (v_r) で円の中心から遠ざかるとすると、粒子は小さいからその粘性力はストークスの式が適用され

$$\text{遠心力} [8\pi r^3 \rho v^2 / (3D)] = \text{粘性力} [6\pi \mu r v_r]$$

したがつて $\frac{v_r}{v} = \frac{4\pi^2 \rho v}{9\mu D}$ となり分離の相似は v_r/v

の一定なことであるから、その条件は $r^2 \rho \propto \mu D / v$ となる。

$$\text{すなわち } \frac{[r^2\rho]_m}{[r^2\rho]_f} = \frac{1}{n} \left(\frac{\mu_m}{\mu_f} \right) \left(\frac{v_f}{v_m} \right) \dots \dots \dots \quad (18)$$

例えば、横型の縮尺を 1/25 とし空気中にアルミ粉を飛ばせるとするとこの粉の径は上式より炉内ダストの径の約 1/3 と計算される。

3. 混合

燃焼は高温の炉内で起りしかも焰の伝播速度は極めて速いので燃料と空気の接触混合によって燃焼が規定される。したがつて模型実験では流体の混合度を知れば燃焼の進行度が知られる。すなわち燃料流か空気流のいずれかに標跡となる物質を混入するか双方に異つた標跡を入れる。この標跡は CO_2 ガス等のごとく混合度を定量できる要がある。同じ混合度であつてもそれが新しい空気

との混合であるか逆流した生成ガスとの混合の結果であるかは測定値のみでなく流型の観察等と総合判断されねばならぬ。またどこまでが焰であるかは燃料の性質・炉内の状態等にもよる。

V. 模型実験の方法

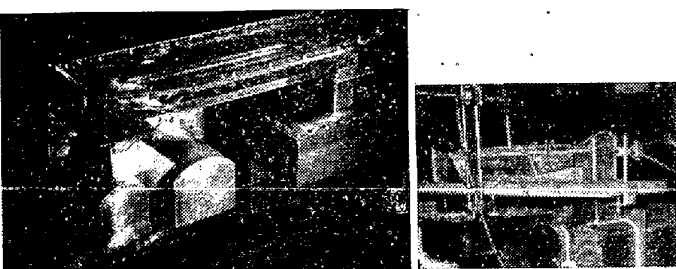
模型は主として透明な有機ガラス (Plexiglas) 板を加工して内部の空間を象つて作り、流体としては常温の水または空気を用い、その中に標跡を入れて観測定量する。流形を知るには光を照射して撮影し、混合を測るには CO_2 ガスの分析等により、損傷を見るにはダストの付着状況による。

1. 模型



Fig. 2. Maerz design model (MF-2A)

この実験に用いた模型は
炉型別で基本的にはベンチ
ュリ型2, メルツ型1, シ
ングル型3であり, これら
に各種の変型を施して実験
を行つたがその主要な例は
Fig. 2~4に示す. 縮尺は



(a) Model (MF-2B) (b) Model(MF-4)
Fig. 3. Single air-uptake design models:
(MF-2B) and (MF-4).

1/25 あるいは 1/30 とした。下炉は黄銅板で作り必要な部分は有機ガラス張に改めた。上炉は全透明または底部のみ木製とし金属枠組は付けなかつた。なお基礎的な補助実験等に二次元の平盤模型も使用した。

2. 錄 沖

(1) 流れ: 標跡の示す流型を見るには、全般または局部に光束を当てるいはスリットを通したプロゼクタからの光を直接または鏡で反射して3~7粂厚の光断面⁴⁾を作つて観察し、またこれを直角の方向から撮影して記録し立体流れを描いた。天井アーチに沿う部分は天井内面の全反射を利用してへの字型の光面を作ることができる。

標跡は燃料流空気流とともに同一のものであつても流速の差で判る。気泡は輝度は高いが大きさを調整できず

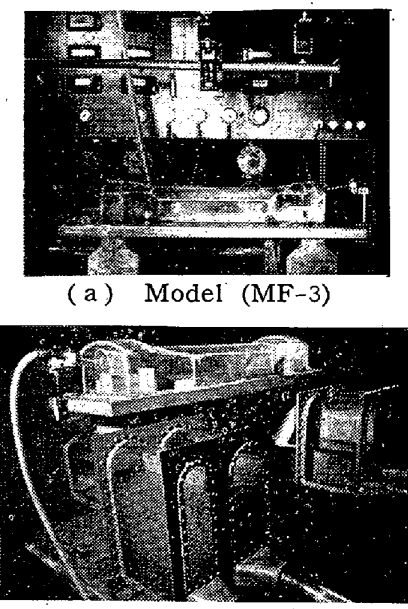


Fig. 4. Semi-venturi design models: (MF-3) under flow pattern study, and (MF-5) with dog-house.

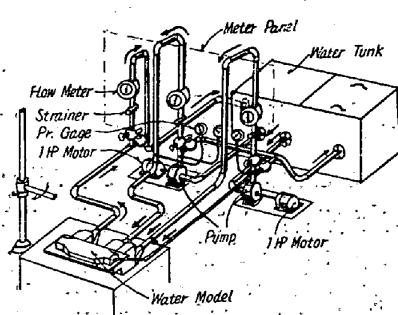


Fig. 5. Hydraulic system.

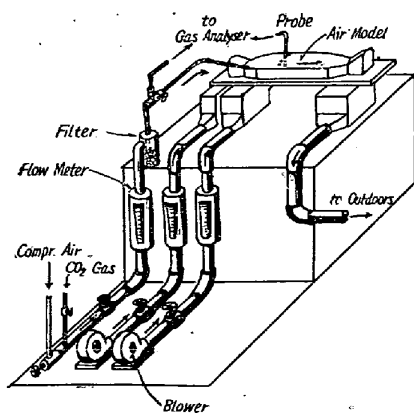


Fig. 6. Air system.

まだ炉内に蓄積されるので特別のとき以外には用いなかつた。

(2) 混合: 燃料噴流(空気使用)中に CO_2 を定量だけ混入して炉内各断面各点における濃度を分析し⁵⁾, 等濃度線図を作り混合の状況を知つた。

(3) 損傷: 鋼浴面からアルミ粉⁶⁾またはベークライト粉を放流し, これが予め油を塗つてある炉内壁に付着する状況とその程度により侵蝕をうける度合を考察した。

VI. 結 言

能率の面からいう現平炉の改善とは, 個々のヒートにおける時間の短縮と長期にわたりこれを維持できることすなわち寿命の延長である: この能力特性は特性値 K , a を使って式で示され, この特性値で炉の比較ができるが, これらを決める諸構成因子の作用を広く徹底的に追求し平炉の合理化—それは単純化に通ずることが望ましい—を進めるには模型実験によるのが迅速かつ経済的である。

適確な配慮のもとに行われる模型実験は実炉における現象を充分に再現することができる。相似律に基づく炉の模型実験が行われるようになつたのは外国でもここ20数年来のことであり, 日本で俵⁷⁾が1931年にはほとんど完全な手法による平炉模型実験を発表していることは特筆される。

有機ガラスの出現は模型の製作・観測を極めて容易にした。平炉その他の炉を築造しようとするとき, その設計は模型実験と並行して合理的に行わるべきである。この手段は決して目新しいものではなく航空機・船舶の建造においてはすでに古くから行われていて不可欠のものとなつている。(昭31~7月寄稿)

文 献

- 1) J. A. Leys, & E. T. Leigh: J.I.S.I., 1952, vol. 170, Apr., pp. 341.
- 2) M. P. Newby: J.I.S.I., 1949, vol. 162, Aug., pp. 452
- 3) I. M. D. Halliday, & A. R. Philip: J.I.S.I., 1949, vol. 162, Aug., pp. 403.
- 4) R. S. Howes, & A. R. Philip: J.I.S.I., 1949, vol. 162, Aug., pp. 394.
- 5) R. D. Collins, & J. D. Tyler: J.I.S.I., 1949, vol. 162, Aug., pp. 459.
- 6) J. A. Leys, & E. T. Leigh: J.I.S.I., 1952, vol. 170, Apr., pp. 338.
- 7) Kuniichi Tawara: Tetsu to Hagané, 1931, vol. 16, Jul., pp. 724.

[註記] この一連の研究は「平炉の合理化改善に関する実験的研究」の標題のもとに昭和29年度通商産業省鉱工業応用研究補助金を交付された実験研究を根幹とするものです。